



# Вестник

## ВОЛГОГРАДСКОГО ГОСУДАРСТВЕННОГО МЕДИЦИНСКОГО УНИВЕРСИТЕТА

ЕЖЕКВАРТАЛЬНЫЙ НАУЧНО-ПРАКТИЧЕСКИЙ ЖУРНАЛ

**Главный редактор**

В. И. Петров, академик РАМН

**Зам. главного редактора**

М. Е. Стаценко, профессор

**РЕДАКЦИОННАЯ КОЛЛЕГИЯ**

А. Р. Бабаева, профессор  
А. Г. Бебуришвили, профессор  
А. А. Воробьев, профессор  
С. В. Дмитриенко, профессор  
В. В. Жура, доцент  
М. Ю. Капитонова, профессор  
(научный редактор)  
С. В. Клаучек, профессор  
Н. И. Латышевская, профессор  
В. Б. Мандриков, профессор  
И. А. Петрова, профессор  
В. И. Сабанов, профессор  
Л. В. Ткаченко, профессор  
С. В. Туркина (ответственный  
секретарь)

**РЕДАКЦИОННЫЙ СОВЕТ**

А. Б. Зборовский, академик РАМН  
(Волгоград)  
Н. Н. Седова, профессор  
(Волгоград)  
А. А. Спасов, чл.-кор. РАМН  
(Волгоград)  
В. П. Туманов, профессор  
(Москва)  
Г. П. Котельников, академик РАМН  
(Самара)  
П. В. Глыбочки, чл.-кор. РАМН  
(Саратов)  
В. А. Батурина, профессор  
(Ставрополь)

**4(32)**

**ОКТЯБРЬ–  
ДЕКАБРЬ  
2009**

VOX  
AUDITA LATET,  
LITTERA SCRIPTA  
MANET  
ИЗДАТЕЛЬСТВО  
ВОЛГМУ...



ISSN 1994-9480



9 771994 948340 >

2. Связь нарушенной функции эндотелия с паренхиматозным кровотоком в органах-мишениях позволяет принять эндотелиальную дисфункцию в качестве глобального показателя сосудистой дисфункции.

## ЛИТЕРАТУРА

1. Флоря В. Г., Беленков Ю. Н. // Кардиология. — 1996. — № 12. — С. 72—77.
2. Шпак Л. В., Колбасников С. В. // Терапевт. архив — 2001. — Т. 73, № 1. — С. 43—46.
3. Becker B. F., Heindl B., Kupatt C., Zahler S. // Z. Kardiol. — 2000. — Vol. 89. — P. 160—167.
4. Cowley A. W. The concept of autoregulation of total blood flow and its role in hypertension. In: Laragh J.H Topics in hypertension. — New York; Yorke medical Books, 1980. — P. 184—200.
5. Mecham R. P., Whitehouse L. A., Wrenn D. S., et al. // Science. — 1987. — Vol. 237. — P. 423—426.
6. Newby A. C., Zaltsman A. B. // J. Pathol. — 2000. — Vol. 190. — P. 300—309.
7. Roman M. J., Saba P. S., Pini R., et al. Parallel cardiac and vascular adaptation in hypertension. Circulation. — 1992. — Vol. 86. — P. 1909—1918.
8. Struijcer Boudeir H. A. J. // Eur. Heart J. — 1999. — Suppl 1. — P. 32—37.
9. Struijcer Boudeir H. A. J. // Medicographia. — 1999. — Vol. 21. — P. 30—33.
10. Struijker Boudier H. A. // Drugs. — 1999. — Vol. 59, Spec No. — P. 37—40.

## Контактная информация

Григорчева Елена Александровна — д. м. н., профессор кафедры поликлинической терапии Челябинской государственной медицинской академии, e-mail: Lenaqriq@rambler.ru

УДК 616.33-001.4-003.93:612.017.1

## ДИНАМИКА ТКАНЕВОГО IGG ПОСЛЕ ГАСТРОПЛАСТИКИ РАН ПЕЧЕНИ, СЕЛЕЗЕНКИ И ПОЧКИ В ЭКСПЕРИМЕНТЕ

**О. В. Мусатов, С. А. Зурнаджан, Ю. Х. Хайрулин**

Астраханская государственная медицинская академия

На 135 кроликах установлены общие иммуноморфологические закономерности процессов репарации ран печени, селезенки и почки после их пластики серозно-мышечным лоскутом большой кривизны желудка на сосудистой ножке. Методом прямой иммунофлуоресценции по Кунсу определялось количество IgG в аутотрансплантатах, ранах органов, прослойках между ними, а также в донорских ранах желудка, откуда были взяты лоскуты. Сроки наблюдения — от 1 до 360 суток. Выявленная тканевая диффузия и транспорт IgG в раны поврежденных органов наиболее интенсивно происходят в первые 7 суток. Желудочный лоскут, являясь своеобразным «тканевым дренажом», сглаживает последствия ишемии вокруг ран, ускоряя процессы их очищения и организации. Нарастание в нем IgG с 7-х по 60-е сутки свидетельствует об «эффекте его накопления» и образовании «депо IgG».

**Ключевые слова:** рана, желудок, печень, селезенка, почка, иммуноглобулин, регенерация.

## DYNAMICS OF TISSUE IgG AFTER GASTROPLASTY OF LIVER, SPLEEN AND KIDNEY WOUNDS IN THE EXPERIMENT

**O. V. Musatov, S. A. Zurnadjan, J. Kh. Hajrulin**

Evidence of general immunomorphological regularities of reparative processes in the liver, spleen and kidney wounds after their plasty with a seromuscular flap of the large curvature of the stomach on a vascular pedicle has been carried out on 135 rabbits. The method of direct immunofluorescence by Coons determined the quantity IgG in autotransplants, wounds of organs, layers between them, and also in donor wounds of the stomach, from where the flaps were taken. The follow-up period was from 1 to 360 days. The revealed tissue diffusion and transport IgG in wounds of injured organs most intensively occurred in the first 7 days. The gastric flap, being originally «a tissue drainage», smoothes out the consequences of ischemia around the wounds, accelerates the process of their purification and organization. The increase of IgG from 7-th till 60-th day indicates an«effect of it accumulation» and creation of IgG depot IgG in it.

**Key words:** wounds, stomach, liver, spleen, kidney, immunoglobulin, regeneration.

В абдоминальной хирургии для пластических целей применяется серозно-мышечный лоскут большой кривизны желудка на сосудистой ножке [4, 7]. В этой связи на современном этапе развития медицин-

ской науки представляет определенный интерес исследование общих иммунологических закономерностей репаративного процесса [3], в том числе после гастропластики ран печени, селезенки и почки, зак-

рытые повреждения которых встречаются гораздо чаще, чем травмы полых органов [1].

## ЦЕЛЬ РАБОТЫ

Выяснение общих иммуноморфологических закономерностей репарации ран печени, селезенки и почки после их пластики серозно-мышечным лоскутом желудка на сосудистой ножке в эксперименте.

## МЕТОДИКА ИССЛЕДОВАНИЯ

Работа выполнена на 135 кроликах-самцах породы шиншилла в возрасте 6—12 месяцев и массой 1,5—2,0 кг. Под наркозом после верхне-срединной лапаротомии у экспериментальных животных из большой кривизны желудка на правой желудочно-сальниковый артерии выкраивались серозно-мышечные лоскуты желудка (СМЛЖ) с захватом подслизистого слоя, которыми укрывались смоделированные рано-ушибленные раны на передней поверхности печени, нижнем полюсе селезенки и наружном крае левой почки с последующим их ушиванием [2]. Сроки наблюдения — от 1 до 360 суток, в соответствии с которыми они выводились из эксперимента внутриплевральным введением тиопентала-На с учетом «Правил проведения работ с использованием экспериментальных животных» (приказ МинВУЗа № 724 от 13.11.1984 г.). Распределение животных по срокам наблюдения представлено в табл. 1. IgG в тканях выявлялся методом прямой иммунофлуоресценции [8] с применением коммерческого препарата мышиных моноклональных антител против IgG кролика, меченых флуоросцеина изотиоцианатом (ФИТЦ), производства фирмы «SIGMA» (США), артикул F4151, в пяти полях зрения по 100 точек в каждом из слоев области операции: желудочных аутотрансплантатах, ранах паренхиматозных органов (реципиентных участках), прослойках между ними — демаркационной зоной на разных этапах формирования и в области донорских ран желудка, откуда брались лоскуты.

Таблица 1

**Распределение экспериментальных животных по срокам наблюдения после гастропластики печени, селезенки и почки**

№ пп	Срок наблюдения, сутки	Печень	Селезенка	Почка	Всего
1	1	4	4	4	12
2	3	4	4	4	12
3	5	4	4	4	12
4	7	4	4	4	12
5	14	4	4	4	12
6	21	4	4	4	12
7	30	3	3	3	9
8	60	3	3	3	9
9	90	3	3	3	9
10	120	3	3	3	9
11	150	3	3	3	9
12	180	3	3	3	9
13	360	3	3	3	9
	Итого	45	45	45	135

Используемый конъюгат IgG находился в растворе 0,01 М фосфатного буфера, pH = 7,4, содержащий 1 % бычьего сывороточного альбумина и 0,01 % тимерозала как консерванта. Путем пробного титрования было установлено его рабочее разведение — 1:10. Приготовленные замороженные криостатные срезы помещались на предметные стекла, высушивались в течение 20 минут при комнатной температуре и в этих же условиях фиксировались ацетоном, затем наносили конъюгат с последующей 30-минутной инкубацией во влажной камере и удалением непрореагировавших компонентов путем отмывания 0,01 М физиологическим раствором, забуференным фосфатным буфером в три этапа по 20 минут при pH = 7,4. В качестве среды заключения использовали 90%-й раствор глицерина на забуференным фосфатным буфером (pH = 7,4) физиологическом растворе. Эту среду наносили на срезы и накрывали кварцевыми покровными стеклами. Приготовленные препараты исследовались с помощью люминесцентного микроскопа «МЛ-2Б» в падающем свете с использованием в качестве первичных фильтров ФС-1-2, СС-15-2 и СЭС-7, пропускающих лучи с длинной волны 495 нм для появления флуоресценции ФИТЦ. Вторичный фильтр — Т-2Н. Сила тока при микроскопии — 4,5А, использовались объективы x20, x40 и окуляр 7.

Интенсивность ИФР оценивалась визуально полуколичественным методом по степени свечения яблочно-зеленым цветом по 5-балльной системе в условных единицах (у.е.):

- 0 у.е. — люминисценция отсутствует;
- 1 у.е. — слабое свечение клеток и тканей;
- 2 у.е. — умеренно выраженная люминисценция;
- 3 у.е. — яркая люминисценция;
- 4 у.е. — очень яркая люминисценция.

## РЕЗУЛЬТАТЫ ИССЛЕДОВАНИЯ И ИХ ОБСУЖДЕНИЕ

Динамика распределения IgG показывает, что он переходит из взятых лоскутов в реципиентные раны указанных паренхиматозных органов, о чем свидетельствуют различия его количества уже в 1-е сутки после операции в них и донорских ранах желудка (рис. 1—2).

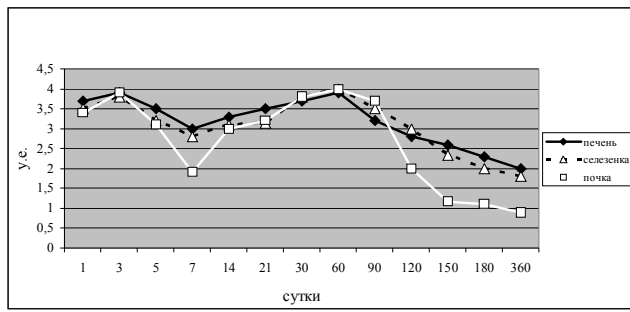


Рис. 1. Динамика IgG серозно-мышечных лоскутов после гастропластики органов

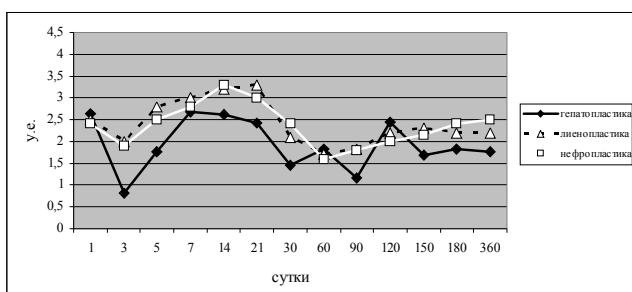


Рис. 2. Динамика IgG донорских ран желудка после гастропластики органов

На протяжении последующих 5–7 суток происходит снижение IgG в желудочных аутотрансплантатах и одновременное его нарастание в прослойках между ними и исследуемыми органами (рис. 3), а также в укрытых ими ранах (рис. 4). Нарастание количества IgG в лоскуте на сроках от 7 до 60 суток раскрывает способность аутотрансплантата к кумулятивному эффекту, создавая в организме своеобразное «депо IgG», а дальнейшее снижение с 60-х суток связано с его выходом в общий кровоток. Мы также полагаем, что вследствие активации лимфоидной ткани желудка операционной травмой, начиная с первых суток, имеет место интенсивный выход IgG в кровеносное русло печени, селезенки и почки, образование непосредственной сосудистой связи между донорскими ранами желудка и реципиентными участками оперированных органов, на что указывает также совпадение динамики изменений IgG в них [5].

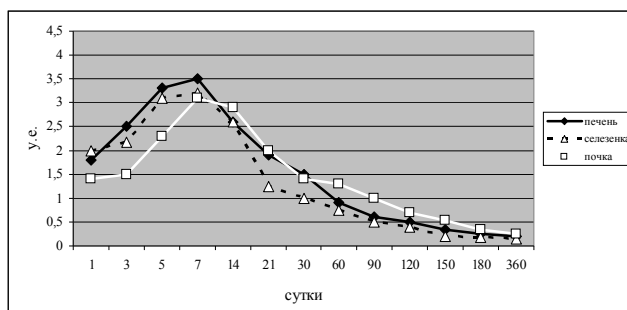


Рис. 3. Динамика IgG прослоек после гастропластики органов

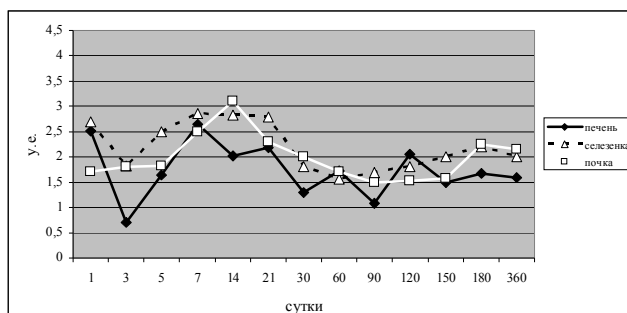


Рис. 4. Динамика IgG ран органов после гастропластики

Графическая оценка динамики послойного распределения IgG в области гастропластики печени, селезенки и почки (рис. 5—7) позволяет судить о переходе исследуемого IgG из лоскута в реципиентный участок через прослойку между ними. Она позволяет также отметить единые закономерности распределения IgG после пластики серозно-мышечным лоскутом исследуемых органов по причине аналогичности графической картины их распределения на рис. 5—7.

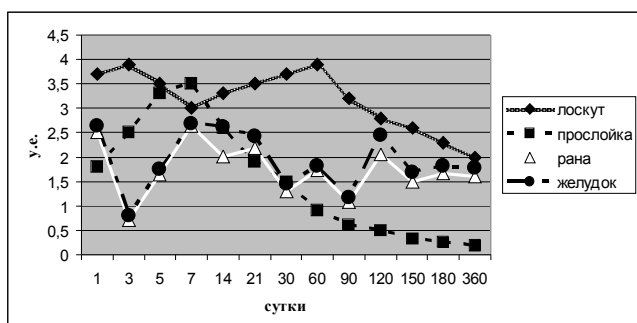


Рис. 5. Динамика IgG области операции после гастрогепатопластики

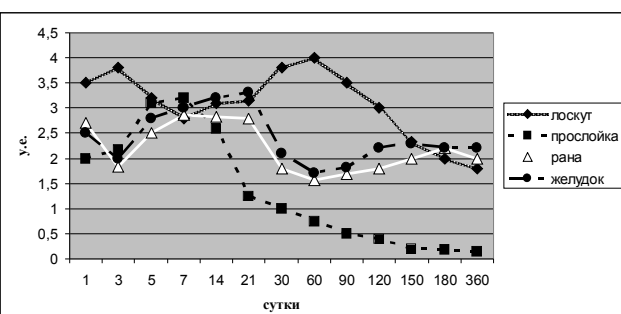


Рис. 6. Динамика IgG области операции после гастролиенопластики

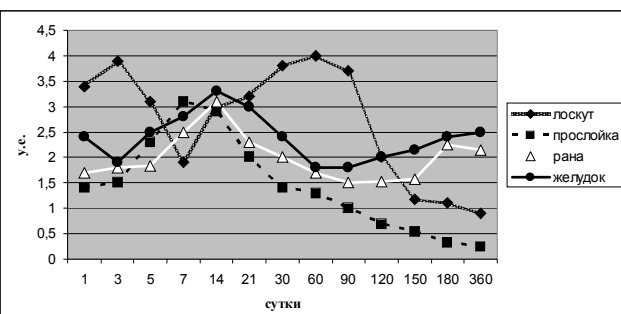


Рис. 7. Динамика IgG области операции после гастронефропластики

Обнаруженный характер распределения тканевого IgG в динамике регенерации после гастропластики ран исследуемых органов определяет продуктивный тип течения воспалительно-репаративного процесса вместе со структурно-физиологическими изменениями исследуемого аутотранспланта. При этом отечная околораневая жидкость, ухо-

дящая в СМЛЖ из паренхимы органов, играет роль так называемого тканевого дренажа, купирующая лимфостаз, обеспечивая более быстрое очищение ран от продуктов метаболизма. По этой же причине при проведенной нами ранее морфометрической оценке было установлено, что рана печени после пластики СМЛЖ очищалась в 12 раз быстрее, рана селезенки — в 13, рана почки — в 3 по сравнению соответственно с гепаторафией, оментолиенопластикой и оментонефропластикой [6]. Лучшей реваскуляризации области ран и продуктивному типу воспалительно-репаративного процесса в ранах печени, селезенки и почки способствует синтез ангиогенных протеинов в подслизистом слое желудочной стенки [9].

## ЗАКЛЮЧЕНИЕ

Регенерация печени, селезенки и почки после гастропластики протекает продуктивно, разрешаясь в ближайшие сроки (от 1 до 21 суток). Желудочный лоскут, являясь своеобразным «тканевым дренажом», сглаживает последствия ишемии вокруг ран, ускоряя процессы их очищения и организации. Нарастание в СМЛЖ IgG с 7-х по 60-е сутки свидетельствует об «эффекте его накопления» и образовании «депо IgG».

## ЛИТЕРАТУРА

1. Абакумов М. М., Лебедев Н. В., Малярчук В. И. // Хирургия. — 2001. — № 6. — С. 24—28.
2. Вальтер В. Г., Зурнаджянц В. А., Одишелашвили Г. Д. // Б. И. — 1994. — № 3. — С. 17.
3. Долгушин И. И., Бухарин О. В. Нейтрофилы и гомеостаз. — Екатеринбург: УрО РАН, 2001. — 284 с.
4. Зурнаджянц В. А., Назарочкин Ю. В. // Вестн. хир. им. Грекова. — 1995. — Т. 154, № 3. — С. 45—49.
5. Мусатов О. В. Аутопластика печени серозно-мышечным лоскутом желудка на сосудистой ножке: автореф. дис. ... канд. мед. наук. — Астрахань, 1997. — 29 с.
6. Мусатов О. В., Зурнаджан С. А., Богатырева О. Е. // Бюл. эксперим. биол. и мед. — 2008. — Т. 146, № 11. — С. 591—593.
7. Одишелашвили Г. Д. Гемостаз при повреждениях печени, селезенки, почек и поджелудочной железы: автореф. дис. ... д-ра мед. наук. — М., 1996. — 33 с.
8. Coons A. N., Caplan M. H. // J. Exp. Med. — 1950. — Vol. 91, № 1. — P. 1—13.
9. Ruel M. A., Sellke F. W., Bianchi C., et al. // Ann. Thorac. Surg. — 2003. — Vol. 75, № 5. — P. 1443—1449.

## Контактная информация

Мусатов Олег Валентинович — к. м. н., ассистент кафедры оперативной хирургии и топографической анатомии Астраханской государственной медицинской академии, e-mail: agma@astranet.ru

УДК 616.133-007.271-089.15

## ОБ ОПЕРАТИВНОМ ДОСТУПЕ К СОННЫМ АРТЕРИЯМ ДЛЯ ВЫПОЛНЕНИЯ КАРОТИДНЫХ РЕКОНСТРУКЦИЙ

**A. I. Шестаков, Р. X. Юсупов, А. Р. Хафизов, А. В. Ахметвалеев**

Клиника Башкирского государственного медицинского университета

Реконструкция сонной артерии при ишемических поражениях головного мозга частая операция в хирургии сосудов. Послеоперационные рубцы отрицательно сказываются на психоэмоциональном состоянии человека. Для уменьшения травматизации тканей и лучшего косметического эффекта разработан минидоступ к сонной артерии. Техника и результаты приводятся.

**Ключевые слова:** эндартерэктомия, минидоступ к сонным артериям, мозга головного ишемии.

## OPERATIVE ACCESS TO ATRERIA CAROTIS FOR CAROTID RECONSTRUCTION

**A. I. Shestakov, R. H. Yusupov, A. R. Hafizov, A. V. Ahmetvaleev**

Reconstruction arteria carotis at ischemic defeats of a brain often operation is surgery of vessels. Postoperative wounds affect on mentel a condition of the person. For reduction of fabrics and the best cosmetic effect miniaccess to arteria carotis. Technical equipment access is developed and results are resulted.

**Key words:** endarterectomy, mini access a. carotis communis (miniaccess to arteria carotis), brain ischemia.

Реконструкции каротидной бифуркации при ишемических поражениях головного мозга становятся едва ли не самой частой операцией в хирургии артериального бассейна. В мире отмечается 150 случаев инсульта на 100 тыс. населения, из них 80 % нару-

шений мозгового кровообращения являются ишемическими и могут быть оперированы. Летальность при ишемических инсультах достигает 39 % [3, 4]. Каротидная хирургия должна использоваться с целью профилактики ишемических инсультов значительно чаще

# Вестник ВолГМУ

<b>Замечник Т. В., Ларин С. И., Стерн Н. А., Овчаренко Н. С., Андриянов А. Ю.</b>	<b>Zamechnic T. V., Larin S. I., Stern N. A., Ovcharenko N. S., Andrianov A. J.</b>
ВЛИЯНИЕ ТЕМПЕРАТУРЫ ОКРУЖАЮЩЕЙ СРЕДЫ НА ПОВЕРХНОСТНЫЕ И ГЛУБИННЫЕ ТЕМПЕРАТУРЫ НИЖНИХ КОНЕЧНОСТЕЙ ПАЦИЕНТОВ С ВАРИКОЗНОЙ БОЛЕЗНЬЮ	INFLUENCE OF ENVIRONMENTAL TEMPERATURE ON SUPERFICIAL AND DEEP TEMPERATURES OF LOWER EXTREMITY IN PATIENTS WITH VARICOSEITY
57	
<b>Горелик Е. В., Смирнов А. В., Краюшкин А. И., Григорьева Н. В.</b>	<b>Gorelik E. V., Smirnov A. V., Krayushkin A. I., Grigoryeva N. V.</b>
ОСОБЕННОСТИ СТРОЕНИЯ ГИППОКАМПА ЛИЦ ЖЕНСКОГО ПОЛА ПОЖИЛОГО И СТАРЧЕСКОГО ВОЗРАСТОВ ПРИ ЦЕРЕБРАЛЬНОМ АТЕРОСКЛЕРОЗЕ С УЧЁТОМ СОМАТОТИПА	PECULIARITIES OF HIPPOCAMPUS STRUCTURE IN ELDERLY AND SENILE FEMALES WITH CEREBRAL ATHEROSCLEROSIS ACCORDING TO SOMATOTYPES
61	
<b>Михальченко В. Ф., Аль-Саккаф Мухаммед Хасан, Петрухин А. Г.</b>	<b>Michalchenko V. F., Al-Sakaf Mohammed Hasson, Petrukhin A. G.</b>
НЕКОТОРЫЕ ПОКАЗАТЕЛИ СТОМАТОЛОГИЧЕСКОЙ ЗАБОЛЕВАЕМОСТИ ТВЕРДЫХ ТКАНЕЙ ЗУБОВ У СТУДЕНТОВ ИЗ ЙЕМЕНСКОЙ РЕСПУБЛИКИ, ОБУЧАЮЩИХСЯ В Г. ВОЛГОГРАДЕ	SOME INDICATORS OF HARD DENTAL TISSUES DISEASES IN VOLGOGRAD STUDENTS OF YEMEN REPUBLIC
64	
<b>Перепелицына С. В., Алексеев В. В., Захарова И. Б., Плеханова Н. Г., Викторов Д. В.</b>	<b>Perepelitsyna S. V., Alekseev V. V., Zakharova I. B., Plekhanova N. G., Viktorov D. V.</b>
ДИФФЕРЕНЦИАЛЬНАЯ ЭКСПРЕССИЯ ГЕНОВ ЦИТОКИНОВ У МЫШЕЙ, ИНФИЦИРОВАННЫХ BURKHOLDERIA PSEUDOMALLEI И В. THAILANDENSIS	DIFFERENTIAL EXPRESSION OF CYTOKINE GENES IN MICE INFECTED BY BURKHOLDERIA PSEUDOMALLEI AND V. THAILANDENSIS
66	66
<b>Григоричева Е. А., Сигидова Л. В.</b>	<b>Grigoricheva E. A., Sigidova L. V.</b>
ФУНКЦИОНАЛЬНАЯ СПОСОБНОСТЬ ЭНДОТЕЛИЯ И ПРОЦЕССЫ СЕРДЕЧНО-СОСУДИСТОГО РЕМОДЕЛИРОВАНИЯ У ПАЦИЕНТОВ С АРТЕРИАЛЬНОЙ ГИПЕРТЕНЗИЕЙ	ENDOTHELIAL FUNCTION AND CARDIOVASCULAR REMODELING IN ARTERIAL HYPERTENSION
69	69
<b>Мусатов О. В., Зурнаджан С. А., Хайрулин Ю. Х.</b>	<b>Musatov O. V., Zurnadjan S. A., Hajrulin J. Kh.</b>
ДИНАМИКА ТКАНЕВОГО IGG ПОСЛЕ ГАСТРОПЛАСТИКИ РАН ПЕЧЕНИ, СЕЛЕЗЕНКИ И ПОЧКИ В ЭКСПЕРИМЕНТЕ	DYNAMICS OF TISSUE IGG AFTER GASTROPLASTY OF LIVER, SPLEEN AND KIDNEY WOUNDS IN THE EXPERIMENT
72	72
<b>Шестаков А. И., Юсупов Р. Х., Хафизов А. Р., Ахметзялев А. В.</b>	<b>Shestakov A. I., Yusupov R. H., Hafizov A. R., Ahmetzayev A. V.</b>
ОБ ОПЕРАТИВНОМ ДОСТУПЕ К СОННЫМ АРТЕРИЯМ ДЛЯ ВЫПОЛНЕНИЯ КАРОТИДНЫХ РЕКОНСТРУКЦИЙ	OPERATIVE ACCESS TO CAROTID ARTERIES FOR CAROTID RECONSTRUCTION
75	75
<b>Водолацкий М. П., Евсеевьева М. Е., Реквава З. А.</b>	<b>Vodolatski M. P., Evseevya M. E., Rekvava Z. A.</b>
ВНЕШНИЕ ПРИЗНАКИ ДИСПЛАЗИИ СОЕДИНИТЕЛЬНОЙ ТКАНИ У ДЕТЕЙ С РАЗЛИЧНЫМИ ВИДАМИ ВРОЖДЕННОЙ РАСЩЕЛИНЫ ВЕРХНЕЙ ГУБЫ И НЕБА	EXTERNAL ATTRIBUTES OF DYSPLASIA OF CONNECTIVE TISSUE IN CHILDREN WITH VARIOUS CONGENITAL CLEFT OF UPPER LIP AND PALATE
78	78
<b>Матисова Е. В., Крамарь В. С., Климова Т. Н.</b>	<b>Matisova E. V., Kramar V. S., Klimova T. N.</b>
КОЛОНИЗАЦИОННАЯ РЕЗИСТЕНТНОСТЬ ПОЛОСТИ РТА В НОРМЕ И ПРИ ПАТОЛОГИИ	ORAL COLONISATION RESISTANCE IN HEALTH AND DISEASE
80	80
<b>Андреева В. О.</b>	<b>Andreeva V. O.</b>
РОЛЬ ЛЕПТИНА И НЕЙРОПЕПТИДА Y В ПАТОГЕНЕЗЕ РЕПРОДУКТИВНЫХ РАССТРОЙСТВ У ДЕВОЧЕК-ПОДРОСТКОВ С НЕРВНОЙ АНОРЕКСИЕЙ	THE ROLE OF LEPTIN AND NEUROPEPTIDE Y IN PATHOGENESIS OF REPRODUCTIVE DYSFUNCTIONS IN ADOLESCENT GIRLS WITH ANOREXIA NERVOSA
84	84
<b>Фролова Е. В.</b>	<b>Frolova E. V.</b>
СРАВНИТЕЛЬНАЯ ОЦЕНКА ЭФФЕКТИВНОСТИ ТЕРАПИИ ПРЕПАРАТОМ СОДЕРЖАЩИМ АНТИТЕЛА К С-КОНЦЕВОМУ ФРАГМЕНТУ АТ1-РЕЦЕПТОРА АНГИОТЕНЗИНА II (КАРДОСТЕН) И ВАЛСАРТАНОМ (ДИОВАН)	A COMPARATIVE ASSESSMENT OF THE EFFECTIVE THERAPY WITH THE PREPARATION CONTAINING ANTIBODIES TO C-END FRAGMENT OF AT-1 RECEPTOR OF ANGIOTENSIN II (CARDOSTEN) AND VALSARTAN (DIOVAN)
88	88
<b>Фролова Е. В., Аедиенко А. А.</b>	<b>Frolova E. V., Avdienko A. A.</b>
УСИЛЕНИЕ БЛОКАДЫ РААС: СРАВНЕНИЕ РЕЗУЛЬТАТОВ МОНОТЕРАПИИ КАРДОСТЕНОМ И КОМБИНАЦИЕЙ КАРДОСТЕНА С ЭНАЛАПРИЛОМ У ПАЦИЕНТОВ С АРТЕРИАЛЬНОЙ ГИПЕРТЕНЗИЕЙ ПЕРВОЙ СТЕПЕНИ В СОЧЕТАНИИ С МЕТАБОЛИЧЕСКИМ СИНДРОМОМ	THE REINFORCEMENT OF RENIN-ANGIOTENSIN- ALDOSTERON SYSTEM BLOCKAGE: COMPARISON OF THE RESULTS OF THE MONOTHERAPY BY CARDOSTEN AND THE COMBINATION OF CARDOSTEN AND ENALAPRIL AMONG THE PATIENTS WITH ARTERIAL HYPERTENSION IN COMBINATION WITH METABOLIC SYNDROME
90	90
<b>Гндоян И. А., Петраевский А. В., Карадже М.</b>	<b>Gndoyan I. A., Petrayevsky A. V., Karage M.</b>
НЕМЕДИКАМЕНТОЗНЫЕ МЕТОДЫ ВОЗДЕЙСТВИЯ НА ГЕМОДИНАМИКУ И АККОМОДАЦИОННЫЙ АППАРАТ ГЛАЗА У ПАЦИЕНТОВ С МИОПИЕЙ	NON-MEDICAMENTAL METHODS OF EYE HEMODYNAMICS AND ACCOMMODATION TREATMENT IN MYOPIA PATIENTS
93	93
<b>Чернова Н. В.</b>	<b>Chernova N. V.</b>
ПИТАНИЕ ШКОЛЬНИКОВ ГОРОДА ВОЛГОГРАДА	NUTRITION OF CHILDREN IN VOLGOGRAD SCHOOLS
96	96